

**В.С. Майборода, д.т.н., проф.**

**Н.В. Ульяненко, аспір.**

Національний технічний університет України "КПІ"

## ДОСЛІДЖЕННЯ МІКРОПРОФІЛЮ РОБОЧИХ ПОВЕРХОНЬ ТВЕРДОСПЛАВНОГО ІНСТРУМЕНТА ЗІ СПЕЦІАЛЬНИМИ ПОКРИТТЯМИ

*Досліджено вплив комплексної магнітно-абразивної обробки (МАО) і нанесення спеціальних зносостійких покрівель на твердосплавний різальний інструмент на стан мікрогеометрії поверхні та поверхневу твердість. Показано доцільність використання підготовчої МАО перед нанесенням покрівель та поліруючо-zmіцнюючої МАО після нанесення покрівель на якість поверхні інструмента.*

**Вступ.** Стан мікрогеометрії робочих поверхонь різального інструмента багато в чому визначає його експлуатаційні показники [1], які значною мірою залежать від умов контактної взаємодії інструмента з оброблюваною деталлю: силами різання, площею фактичного контакту окремих елементів робочих поверхонь з оброблюваною поверхнею, умовами та силами тертя на задній і передній поверхнях, безпосередньо на різальному лезі. Активно взаємодіє з оброблюваною поверхнею більше 70–80 % висоти мікронерівностей робочих поверхонь різального інструмента, а не тільки його вершини, як це передбачається в розрахунках на тертя і знос [2–4]. Тому важливим параметром, що характеризує мікрорельєф поверхонь інструмента, є зміна величини відносної опорної поверхні  $t_p$  у залежності від відносної висоти  $r$  перівностей. При цьому запропонована для опису залежність зміни опорної поверхні від величини рівня степенева функція [2], що описує початкову частину кривої – до відносної висоти рівня 0,3–0,4, є явно недостатньою.

Сучасні методи зміцнення різального інструмента, як правило, пов'язані з поверхневою обробкою, яка передбачає механічний, фізичний, хімічний, хіміко-термічний вплив, нанесення спеціальних покрівель. Для більшості застосуваних методів поверхневого зміцнення різального інструмента характерна зміна мікрогеометрії поверхні убік погіршення – збільшення величини  $R_a$ , зміни функції  $t_p(r)$  та ін. Подібне погіршення мікропрофілю має місце і при нанесенні покрівель на різальний інструмент із використанням методів хімічного та фізичного осадження покрівель (CVD і PVD). Забезпечуване при цьому підвищення стійкості різального інструмента пов'язане, в основному, з формуванням на поверхні тонкого шару з підвищеною твердістю, зносостійкістю, тепlostійкістю. Істотним резервом підвищення стійкості є регульований вплив на стан мікрогеометрії нанесених покрівель та їх напружений стан. Традиційні методи фінішної обробки, що застосовуються для обробки покрівель, обмежені за своїми можливостями і можуть ефективно використовуватися при обробці товстошарових покрівель. Обробка ж покрівель товщиною до 10 мкм вимагає використання «м'якого» інструмента, який нівелює щодо оброблюваної поверхні, створюючи регульований локальний вплив на виступаючі мікронерівності, не приводячи при обробці до видалення покрівля або оголення на окремих ділянках субстрату (підкладки). При цьому необхідне забезначення рівномірної обробки всіх робочих елементів різального інструмента. Саме такі умови реалізуються у методі магнітно-абразивної обробки (МАО) [5, 6].

Необхідні умови обробки забезпечуються в методі МАО спеціальним сформованим магнітно-абразивним інструментом (МАІ), у якого окрім частинки та їх групи знаходяться в рухливо-скоординованому стані відносно оброблюваної поверхні [7]. Причому твердість такого МАІ може регульоватися в широких межах шляхом зміни енергії магнітного поля, що є віртуальною зв'язкою у МАІ, варіюванням реологічних властивостей МАІ, зміною особливостей руху оброблюваних поверхонь.

Раніше викопані експериментальні дослідження впливу МАО на стан поверхні різального інструмента як перед нанесенням покрівель [8], так і після нанесення, як методом хіміко-термічної обробки (ХТО), так і іонно-плазмовим напиленням нітридів та карбідів переходів металів [9, 10], показали погіршення шорсткості поверхні, зв'язаної з особливостями формування нанесеного шару [11]. Незважаючи на це, встановлено істотне підвищення

стійкості інструмента, зростання поверхневої твердості та мікротвердості поверхневого шару. Однак докладних досліджень впливу умов МАО на стан характеристик мікропрофілю поверхні інструмента після нанесення покріттів вивчено не було. Крім цього, можливості застосування при МАО для формування МАІ різних порошкових матеріалів з метою керування властивостями порошкового інструмента і забезпечення умов МАО з підвищеною поліруючою чи зміцнюючою здатністю [12] робить актуальним дослідження впливу режимів та умов МАО на стан та властивості мікропрофілю оброблюваних деталей.

Тому метою роботи було дослідження впливу умов МАО твердосплавного різального інструмента при комплексному його зміцненні, що включає технологічну комбінацію методів МАО та нанесення покріттів, на стан мікропрофілю робочих поверхонь.

**Експериментальні дослідження.** Як об'єкт дослідження служили твердосплавні непереточувані пластини двох типів з різним станом поверхні та з різним видом покріттів:

- чотиригранні непереточувані пластини фірми KENNAMETAL з покріттям TiN, нанесеним іонно-плазмовим методом в умовах фірми;
- циліндричні різальні елементи зі сплаву T14K8 з покріттям на основі TiC та з покріттям на основі карбідів NbC та Cr<sub>7</sub>C<sub>3</sub>, отриманих методом XTO з попередньо підготовленою під нанесення покріття поверхні методом МАО [13].

Досліджували стан поверхні твердосплавних елементів після нанесення покріття і після поліруючо-zmіцнюючої МАО із застосуванням МАІ, сформованим з порошку ПР Р6М5 фракцією 315/200 мкм [12] з округлою формою частинок.

Обробку виконували на спеціальній універсальній установці типу кільцева ванна [14] для обробки різального інструмента. Умови МАО відповідали режимам обробки, що забезпечує найкращі результати по мікротвердості поверхневого шару та шорсткості одержуваної поверхні [14, 15].

На першому етапі були проведені дослідження впливу умов попередньої МАО перед нанесенням покріття на основі карбіду титану методом XTO на стан поверхні циліндричних твердосплавних пластин. Результати досліджень наведені на рис. 1.

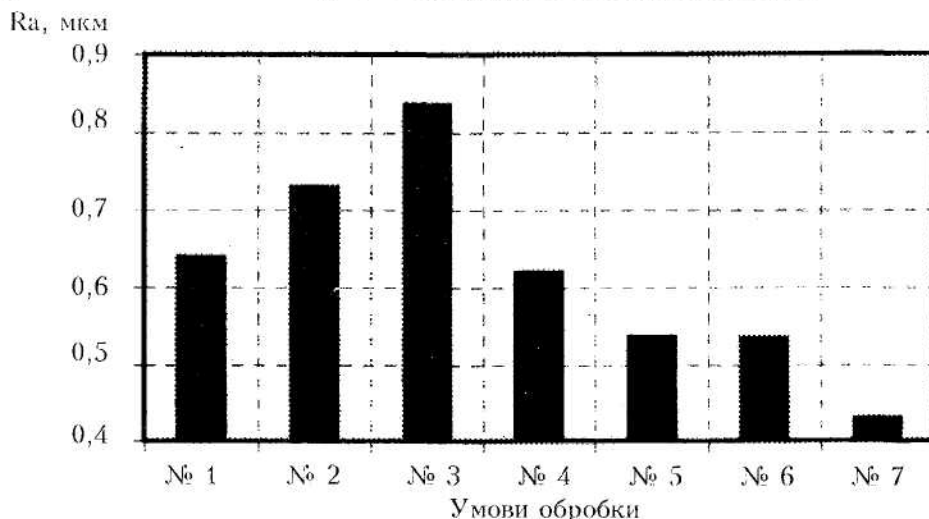


Рис. 1. Вплив умов МАО перед нанесенням покріття на шорсткість мікропрофілю твердосплавного циліндричного різального елемента зі сплаву T14K8 з покріттям на основі TiC: № 1 – без попередньої МАО; № 2, № 3, № 4 – МАО зі швидкістю 1,67 м/с; № 5, № 6, № 7 – МАО зі швидкістю 2,51 м/с; № 2, № 5 – час МАО 120 с; № 3, № 6 – час МАО 240 с; № 4, № 7 – час МАО 360 с

Встановлено, що попередня МАО зі швидкістю 1,67 м/с перед нанесенням покріття на основі TiC призводить до формування поверхні, у якої шорсткість гірша, ніж у зразків попередньо не оброблених методом МАО, у той час як попередня поліруюча МАО зі швидкістю 2,3–2,5 м/с призводить до зниження шорсткості поверхні з покріттям до  $R_a < 0,51$  мкм.

Причому вихідна шорсткість необроблених методом МАО і непотертих зразків складала  $R_a = 0,76\text{--}0,8 \mu\text{m}$ , а оброблених методом МАО – не більш  $R_a = 0,32 \mu\text{m}$ . Аналогічні результати отримані і при нанесенні покриття на основі карбідів тіобію та хрому. Без попередньої МАО шорсткість інструмента з покриттям складала  $R_a = 1,2\text{--}1,45 \mu\text{m}$ , а з попередньою МАО –  $R_a = 0,7\text{--}0,73 \mu\text{m}$ . Таке розходження в шорсткості поверхні інструменту з покриттям може бути пов'язане з умовами їх росту при ХТО [11, 16], що визначаються станом мікроструктури, ступенем дефектності та зміщенням поверхневого шару [2], [7], [17], [18], [19]. Однозначно виділити один з найбільш істотних із зазначених факторів у даний час не представляється можливим через тісний їх взаємозв'язок і взаємоплив, а також відсутність достатнього обсягу інформації та спеціальних досліджень у цій області.

Аналіз зміни відносної величини опорної поверхні мікропрофілю в залежності від його рівня показав, що найбільш цільне покриття отримане при часі попередньої МАО 120 с. Це відноситься як до покриття на основі карбіду титану, так і до покриття на основі карбідів тіобію та хрому. Розраховані щільності відносної величини опорної поверхні профілю [15] підтверджують отримані результати.

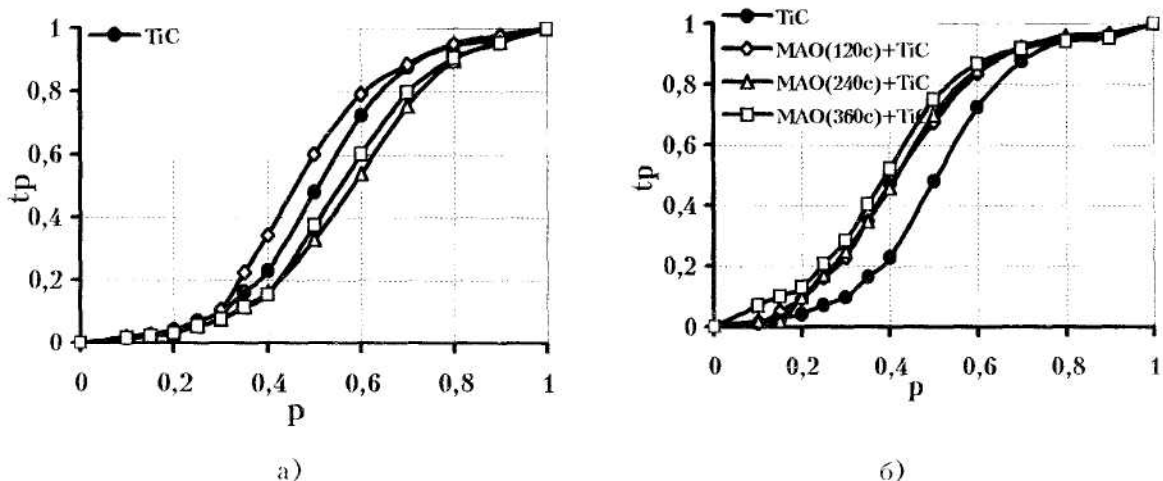


Рис. 2. Зміна відносної величини опорної поверхні мікропрофілю  $t_p$  твердого сплаву Т14К8 з титановим покриттям, отриманим методом ХТО при різній тривалості процесу попередньої МАО та швидкості обробки 1,67 м/с (а), 2,51 м/с (б) у залежності від відносного рівня висоти перівностей  $p$

Порівняння отриманих результатів про характер зміни величини  $t_p$  мікропрофілю після різних видів нанесення покриттів та умов обробки робить необхідним проведення якісної оцінки, зв'язаної з введенням окремих інтегральних параметрів або формалізованого формульного опису отриманих залежностей і наступного їх аналізу.

Для формалізованого опису залежностей  $t_p = f(p)$  була використана функція:

$$t_p(p) = a_1 p^{a_2} e^{-a_3 p}, \quad (1)$$

де  $a_1$ ,  $a_2$ ,  $a_3$  – деякі коефіцієнти апроксимації;

$t_p$  – величина відносної опорної поверхні на відповідному відносному рівні мікропрофілю  $p$ .

Залежності  $t_p = f(p)$ , представлені у вигляді (1), мають точку перегину, що відповідає максимальній величині зміни щільності відносної опорної поверхні та фактично визначає значення рівня мікропрофілю  $p$ , на який здійснюється перехід від вершин мікропрофілю до западин. Значення  $p$ , що відповідають зазначеним точкам з (1), можна визначити як:

$$p_0 = \frac{a_2 - \sqrt{a_2}}{a_3}. \quad (2)$$

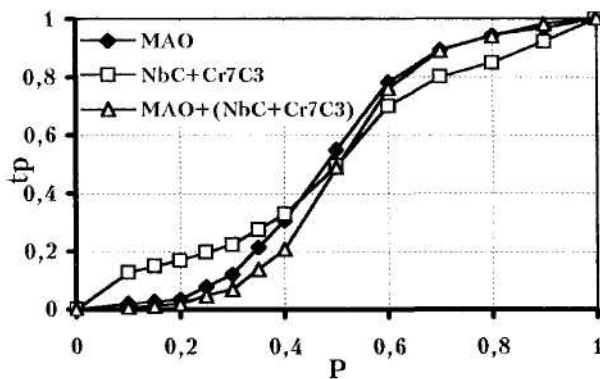


Рис. 3. Зміна відносної величини опорної поверхні мікропрофілю  $t_p$  твердого сплаву Т14К8 з ніобійхромовим покриттям, отриманим методом ХТО в залежності від відносного рівня висоти нерівностей  $p$  при швидкості поперецької МАО 1,67 м/с і часу 120 с

У такий спосіб залежності  $t_p = f(p)$  умовно розбиваються на дві частини, одна з яких (до значення відносної величини рівня профілю  $p_0$ ) відповідає за мікровиступи, а інша – за мікрозападини при  $p > p_0$ . Інтегрально оцінити величину відносної опорної поверхні мікропрофілю в області виступів можна за величиною :

$$S_e = \int_0^{p_0} t_p(p) dp, \quad (3)$$

а в області западин як:

$$S_n = \int_{p_0}^1 t_p(p) dp. \quad (4)$$

Значення коефіцієнтів  $a_1, a_2, a_3$ , середньоквадратичної похибки апроксимації  $\sigma^2$ , величин  $p_0$ ,  $S_e$ ,  $S_n$  для різних комбінацій обробок поверхні твердосплавних різальних елементів зі сплаву Т14К8 наведені в таблиці 1.

Таблиця 1  
Значення коефіцієнтів  $a_1, a_2, a_3, S_e, S_n, p_0$  та середньоквадратичної похибки апроксимації  $\sigma^2$

Вид поверхневої обробки	Режим МАО		Значення коефіцієнтів			$\sigma^2$	$p_0$	$S_e, S_n$
	Швидкість об./хв (м/с)	Час с	$a_1$	$a_2$	$a_3$			
без обробки (алмазне шліфування)	-	-	331,24	5,23	5,84	0,0620	0,63	0,19 / 0,311
ніобій-хромування	-	-	3,18	1,80	1,15	0,0248	0,40	0,069 / 0,446
титанування	-	-	325,68	5,22	5,82	0,0070	0,50	0,063 / 0,425
МАО	200 (1,67)	120	185,85	4,64	5,26	0,0074	0,47	0,059 / 0,451
МАО+титанування	200 (1,67)	120	175,10	4,54	5,21	0,0103	0,46	0,057 / 0,462
		240	257,05	5,52	5,55	0,0043	0,57	0,075 / 0,354
		360	431,44	5,77	6,09	0,0049	0,55	0,069 / 0,373
	300 (2,51)	120	41,66	3,28	3,77	0,0058	0,39	0,052 / 0,512
		240	46,28	3,33	3,87	0,0066	0,39	0,054 / 0,517
		360	24,63	2,79	3,25	0,0126	0,35	0,051 / 0,540
МАО+ніобій-хромування	200 (1,67)	120	808,28	5,89	6,74	0,0117	0,51	0,060 / 0,431

Для умов експлуатації різального інструмента (табл. 1) стан мікрогеометрії його поверхні повинний бути таким, щоб забезпечувалися мінімальне тертя, максимальна міцність, висока термостійкість. Для цього необхідно, щоб величина  $S_e$  була мінімальна, а значення  $S_n$  –

навпаки максимальні. Виконання такої умови дозволить істотно знизити цикл приробки різального інструмента на початкових стадіях експлуатації, зменшити теплонапруженість процесу різання і приведе до підвищення стійкості.

Аналіз експериментальних даних показав, що найбільш оптимальна мікрогеометрія як за висотою мікронерівностей, так і за ступенем його розгалуженості, характеристиками відносної опорної поверхні забезпечується при використанні методу МАО зі швидкістю порядку 2,5–3 м/с і часом обробки 120–240 с у якості попередньої, підготовчої операції перед нанесенням покриттів методом ХТО.

При цьому можливе формування шорсткості поверхні інструмента з досить ізольним профілем з  $R_a < 0,45$  мкм. Однак стап поверхні і поверхневого шару не є найбільш оптимальним для умов експлуатації різальних елементів. Насамперед це пов'язано з фізико-механічними характеристиками поверхневого шару. Відомо, що при нанесенні покриттів методом ХТО в поверхневому шарі покриття при його рості виникають стискаючі напруження, а в підкладці (субстраті) – формуються позитивні розтинаючі [11]. Найбільш небезпечною зоною є зона переходу від позитивних до негативних напружень, що, як правило, знаходиться на поверхні підкладки в переходній зоні покриття–підкладка. Дослідження поверхневої твердості зразків показали наявність високої твердості – до 28–30 ГПа, що різко падає зі збільшенням глибини. Це може служити підтвердженням зазначеного вище розходження в напруженому стані поверхневого шару. Відзначимо, що підвищення твердості покриття супроводжується зниженням його пластичності, ростом мікрокрихкості [20], що небажано для різального інструмента. Застосування підготовчої поліруючої МАО дозволяє не тільки сформувати поверхню субстрату під нанесення покриття шляхом зниження його шорсткості, видалення окисних плівок та дефектних зон, а й сформувати в субстраті необхідний напруженій стан. У результаті комбінованої обробки МАО + покриття забезпечується більш рівномірний розподіл твердості поверхневого шару інструмента з покриттям. Результати зміни поверхневої твердості твердосплавних елементів зі сплаву Т14К8 з покриттями двох типів на прикладі попередньої МАО зі швидкістю 2,2 м/с і різному часі обробки наведені на рис. 4.

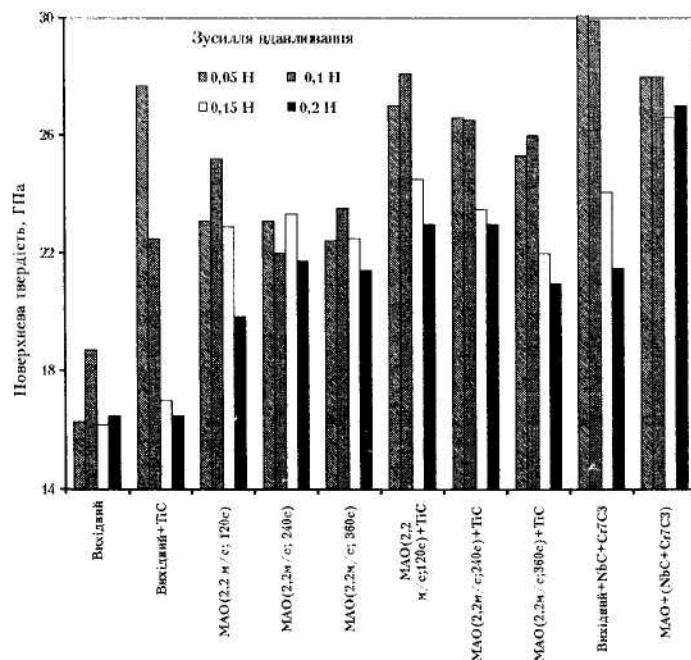


Рис. 4. Поверхнева твердість різальних елементів зі сплаву Т14К8 після МАО та комбінованої обробки МАО + покриття при різних зусиллях вдавлювання

Отримане деяке зниження твердості на поверхні і зростання її на глибині (під поверхнею) є позитивним фактом як з погляду напруженого стану поверхневого шару, так і з погляду формування поверхні з оптимальними триботехнічними параметрами, що свідчить про доцільність застосування запропонованої комбінованої обробки.

З метою зниження величини Ra, поліпшення параметрів мікропрофілю поверхні та її напруженого стану були виконані дослідження з використанням поліруючо-зміцнюючої, остаточної МАО твердосплавного інструмента з покриттями. Позитивні результати, отримані на різальному інструменті зі швидкорізальних сталей [9] і лопатках компресорів ГТД [12], дозволяють рекомендувати використання комбінації покриття + МАО і для твердих сплавів.

Виконані дослідження впливу поліруючо-зміцнюючої МАО з використанням спеціального МАІ на чотиригранних пластинках фірми KENNAMETAL з покриттям на основі TiN показали, що мінімальна шорсткість  $R_a = 0,31\text{--}0,33 \mu\text{m}$  формується вже через 60 с фінішної МАО (рис. 5).

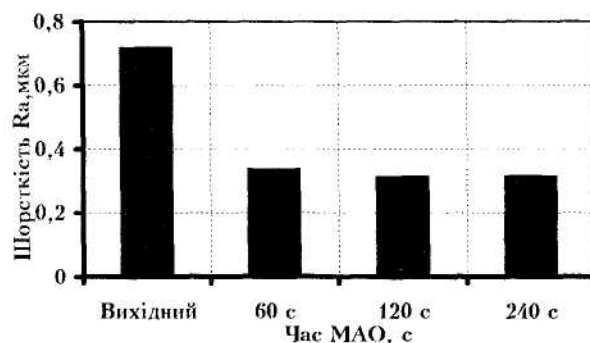


Рис. 5. Зміна шорсткості мікропрофілю  $R_a$  твердосплавних чотиригранних пластин KENNAMETAL з покриттям на основі TiN після МАО з різною тривалістю обробки

Характер зміни відносної довжини опорної поверхні мікропрофілю представлений на рис. 6. При цьому значення величини  $r_p$  на залежностях  $t_p = f(p)$  зміщується з  $r_p = 0,65$  для вихідних пластин з покриттям, до 0,40–0,45 для пластин, що пройшли зміцнюючу МАО порошком ПР Р6М5 (315/200 мкм). Мікроскопічний аналіз не виявив слідів відшарування або видалення покриття на основі TiN навіть на різальних лезах. Це говорить про те, що процес МАО забезпечив видалення мікрокраплинної фази з поверхні та інших дефектів, не порушивши цілісності покриття.

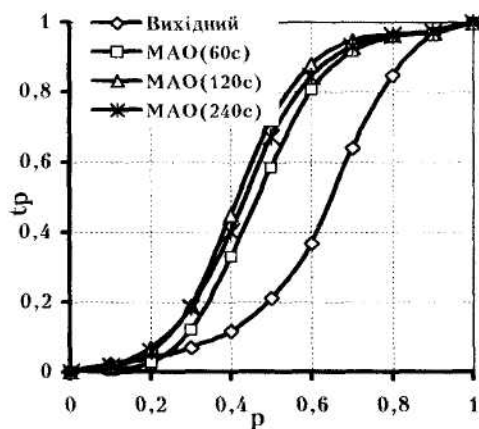


Рис. 6. Зміна відносної величини опорної поверхні мікропрофілю  $t_p$  твердосплавних чотиригранних пластин KENNAMETAL з покриттям на основі TiN після МАО з різною тривалістю обробки в залежності від відносного рівня висоти нерівностей  $p$

Підтвердженням цьому є профілограми поверхні, записані при різних збільшеннях (рис. 7). Крім цього, встановлено більш рівномірний розподіл поверхневої твердості за глибиною та зміцнення поверхневого шару. Показано, що при часі зміцнюючої обробки 120 с, з величиною магнітної індукції в робочих зазорах 0,32 Тл швидкості МАО 2,51 м/с, порошком ПР Р6М5 з розміром частинок 315/200 мкм забезпечується величина поверхневої твердості при зусиллях удавлення індентора 0,05–0,15 Н – на рівні 29 ГПа.

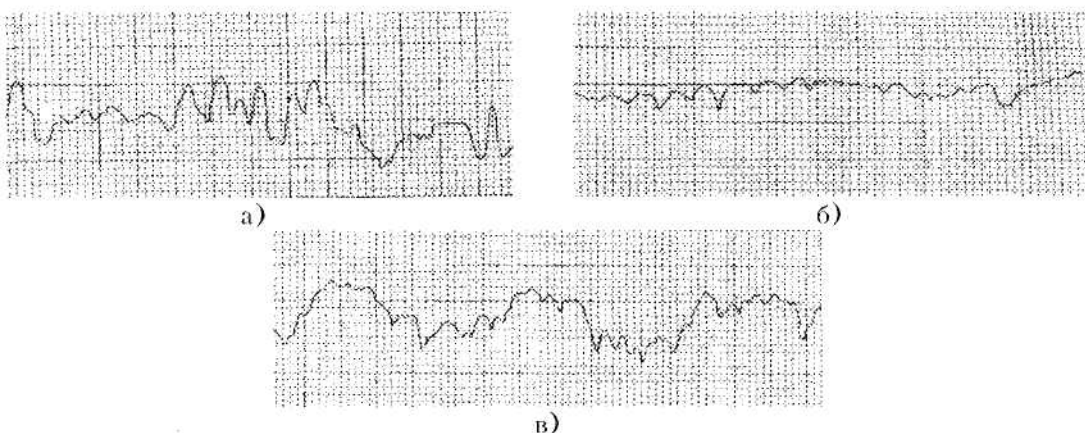


Рис. 7. Профілограми поверхні твердого сплаву KENNAMETAL з покриттям на основі TiN та після поліруючо зміцнюючої МАО; ГЗ 500, (а) – до МАО; (б), (в) – після МАО протягом 120с, (а), (б) – ВЗ 10000; (в) – ВЗ 50000

Характер зміни мікротвердості поверхневого шару наведений на рис. 8. Показано, що при комплексній поверхневій обробці покриття на основі TiN + МАО забезпечується зміцнення твердосплавних пластин на глибину до 300 мкм. При цьому величина  $H_\mu$  біля поверхні складає 28–29 ГПа і плавно знижується до 15–16 ГПа на глибині 300 мкм.

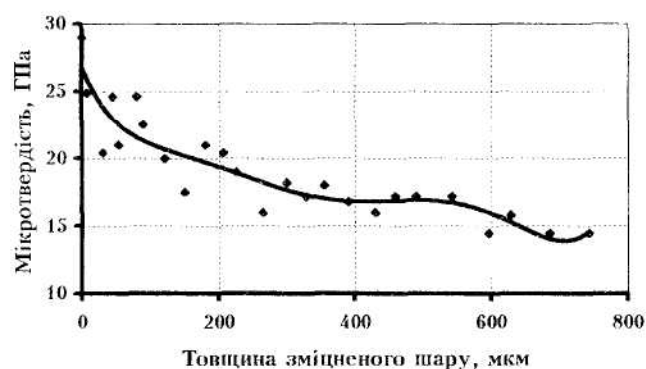


Рис. 8. Зміна мікротвердості поверхневого шару твердосплавної чотиригранної пластини KENNAMETAL з покриттям на основі TiN після поліруючо-zmіцнюючої МАО

Виконані дослідження впливу поліруючо-zmіцнюючої МАО різального інструмента зі сплаву Т14К8 з карбідними покриттями, отриманими методом ХТО, показали, що обробка зі швидкостями 1,67 і 2,51 м/с забезпечує формування поверхні з  $R_a = 0,38$  мкм. Характеристики опорної поверхні мікропрофілю, визначені за вищеописаною методикою, наведені в таблиці 2, а поверхнева твердість на глибині до 5–7 мкм не менше 21 ГПа для інструмента з покриттям на основі TiC і не менше 25–26 ГПа з покриттям на основі карбідів NbC та Cr<sub>7</sub>C<sub>3</sub>.

Аналіз отриманих результатів показав, що процес МАО, застосовуваний в якості підготовчої операції і в якості поліруючо-zmіцнюючої, МАО, забезпечує формування поверхні з покриттями на твердосплавному різальному інструменті з  $R_a < 0,4$  мкм, вигладженням профілем, без явно виражених мікровиступів та суцільним, цільним, нерозгалуженим мікронпрофілем покриття.

При цьому в поверхневому шарі інструмента з покриттями формується досить глибокий зміцнений шар з відносно рівномірною та плавною зміною твердості і мікротвердості. Порівняння отриманих результатів після поліруючо-zmіцнюючої МАО з даними, наведеними в табл. 1 після операції нанесення покриття, показали, що величина  $p_0$  після поліруючо-zmіцнюючої обробки може в окремих випадках бути вище, ніж після нанесення покриттів

(наприклад, покриття TiC методом ХТО), але при цьому варто вказати на високу стабільність у значеннях  $p_0$  і розташування в області значень менших ( $0,4\text{--}0,48$  мкм), ніж для умов традиційної обробки твердосплавного інструмента – вібраабразивна обробка, алмазне шліфування (більше 0,6 мкм).

Таблиця 2  
Значення  $S_a$ ,  $S_h$ ,  $p_0$  для твердосплавного інструмента з покриттями після комплексної обробки

Тип твердосплавного інструмента	Вид комплексної обробки	Умови поліруючо-зміцнюючої МАО		$p_0$	$S_a / S_h$
		Швидкість, м/с	Час, с		
KENNAMETAL	титанування	-	-	0,65	0,087 / 0,294
	титанування + МАО	2,51	60	0,46	0,055 / 0,465
			120	0,41	0,054 / 0,514
			240	0,42	0,054 / 0,499
T14K8	МАО+титанування+МАО	1,67	120	0,48	0,061 / 0,455
			240	0,45	0,059 / 0,456
			360	0,42	0,07 / 0,435
		2,51	120	0,4	0,056 / 0,489
			240	0,43	0,054 / 0,494
			360	0,44	0,058 / 0,476
	піобійхромування+ МАО	2,51	120	0,44	0,054 / 0,498
	МАО+піобійхромування+ МАО	2,51	120	0,45	0,057 / 0,494

**Висновки.** Виконано комплекс досліджень впливу попередньої поліруючої магнітно-абразивної обробки перед нанесенням тонких зносостійких покрівель, поліруючо-зміцнюючої магнітно-абразивної обробки твердосплавного інструмента з покрівлями на шорсткість і стан мікропрофілю поверхні, а також характеристики поверхневої твердості та мікрогердості поверхневого шару. Показано, що використання комбінації магнітно-абразивної обробки та нанесення покрівель забезпечує формування шорсткості поверхні з  $Ra < 0,4$  мкм, вигладженим, цільним мікропрофілем. Запропоновано методику оцінки якості мікропрофілю за інтегральними показниками зміни величини відносної опорної поверхні профілю.

#### ЛІТЕРАТУРА:

- Лошак М.Г. Прочность и долговечность твердых сплавов. – Киев: Наукова думка, 1984. – 328 с.
- Крагельский И.В., Добычин М.Н., Комбалов В.С. Основы расчетов на трение и износ. – М.: Машиностроение, 1977. – 526 с.
- Буше П.А. Трение, износ и усталость в машинах (Транспортная техника). – М.: Транспорт, 1987. – 223 с.
- Хусу А.П., Витенберг Ю.Р., Пальмов В.А. Шероховатость поверхности (теоретико-вероятностный подход). – М.: Наука, 1975. – 344 с.
- Сакулевич Ф.Ю., Минин Л.К., Скворцовский П.Я. Формирование поверхности при магнитно-абразивном полировании // Совершенствование процессов финишной обработки в машиностроении: Материалы I-й Всесоюз. конф. – Минск, 1975. – С.111-113.
- Барон Ю.М. Магнитно-абразивная и магнитная обработка изделий и режущих инструментов. – Л.: Машиностроение, 1986. – 176 с.
- Майборода В.С. Основи створення і використання порошкового магнітно-абразивного інструмента для фінішної обробки фасонних поверхонь: Дис. докт. техн. наук. – Київ, 2001. – 404 с.

8. Майборода В.С., Дюбнер Л.Г. Магнітно-абразивна обробка осьового і кінцевого різального інструмента. Частина 2. Використання магнітно-абразивної обробки як підготовчої операції перед нанесенням покріттів типу TiN // Наукові вісті НТУУ "КПІ". – 2001. – № 4. – С. 60–66.
9. Майборода В.С., Дюбнер Л.Г., Ульяненко Н.В. Магнітно-абразивна обробка осьового і кінцевого різального інструмента. Частина 3. Використання магнітно-абразивної обробки як фінішної операції після нанесення іонно-плазмових покріттів // Наукові вісті НТУУ "КПІ". – 2001. – № 4. – С. 94–99.
10. Майборода В.С., Бобіна М.М., Ульяненко Н.В. Магнітно-абразивна обробка осьового і кінцевого різального інструмента. Частина 4. Використання магнітно-абразивної обробки як поопередньої операції перед дифузійним насиченням поверхневого шару під час хіміко-термічної обробки // Наукові вісті НТУУ "КПІ". – 2001. – № 6. – С. 94–99.
11. Верещака А.С. Работоспособность режущего инструмента с износостойкими покрытиями. – М.: Машиностроение, 1993. – 336 с.
12. Грязнов Б.А., Майборода В.С., Налимов Ю.С. Исследование влияния видов обработки поверхности и многослойного покрытия нера лопаток на их характеристики сопротивления усталости // Проблемы прочности. – Киев, 1999. – № 5. – С. 109–116.
13. Спосіб хіміко-термічної обробки інструмента з швидкорізальної сталі. Патент України 42541A C23C8/00 B24B31/112/ В.С. Майборода, Н.В. Ульяненко, М.М. Бобіна, заявл. 30.03.2001 р, опубл. 15.10.2001 р, Бюл. № 9, заявка № 2001032104 від 27.07.2001 р.
14. Гейчук В.Н., Майборода В.С., Ульяненко Н.В. Магнитно-абразивная обработка неперетачиваемых твердосплавных пластин // Вестник ІТГУУ "КПІ" / Машиностроение. – 2002. – № 43 – С. 115–118.
15. Майборода В.С., Ульяненко Н.В. Кинетика формирования микропрофиля поверхности твердосплавного режущего инструмента при магнитно-абразивной обработке // Вісник Сумського державного університету (серія Технічні науки). – Суми: СумДУ, 2002. – С. 104–111.
16. Лоскутов В.Ф., Хижняк В.Г., Куницкий Ю.А., Кіндракчук М.В. Диффузионные карбидные покрытия. – К.: Техника, 1991. – 168 с.
17. Suh N.P. The Delamination Theory of Wear. Wear, vol. 25. – 1973. – № 1. – Р. 111–124.
18. Буше Н.А. К вопросу о процессах, происходящих на поверхности трения металлических материалов // В кн.: О природе трения твердых тел. – Минск: Наука и техника, 1971. – С. 75–77.
19. Проволоцкий А.Е. Струйно-абразивная обработка деталей машин. – Київ: Техніка, 1989. – 177 с.
20. Хижняк В.Г. Розробка фізико-хімічних та технологічних основ нанесення на поверхню сталей та твердих сплавів двокомпонентних покріттів на основі нерхідних металів для підвищення службових характеристик виробів. Дис. докт. техн. наук. – Київ, 1998. – 275 с.

**МАЙБОРОДА** Віктор Станіславович – доктор технічних наук, професор кафедри ІВ ММІ Національного технічного університету України "КПІ".

Наукові інтереси:

- реологія дискретного та дискретно-безперервного середовища в постійних магнітних полях;
- різання;
- технологія машинобудування.

**УЛЬЯНЕНКО** Наталія Валентинівна – аспірант кафедри ІВ ММІ Національного технічного університету України "КПІ".

Наукові інтереси:

- матеріалознавство;
- різання;
- методи зміцнення інструменту.

Тел. 8(044) 441-17-90, 441-10-68

Email: [kafedratp@zeos.net](mailto:kafedratp@zeos.net)